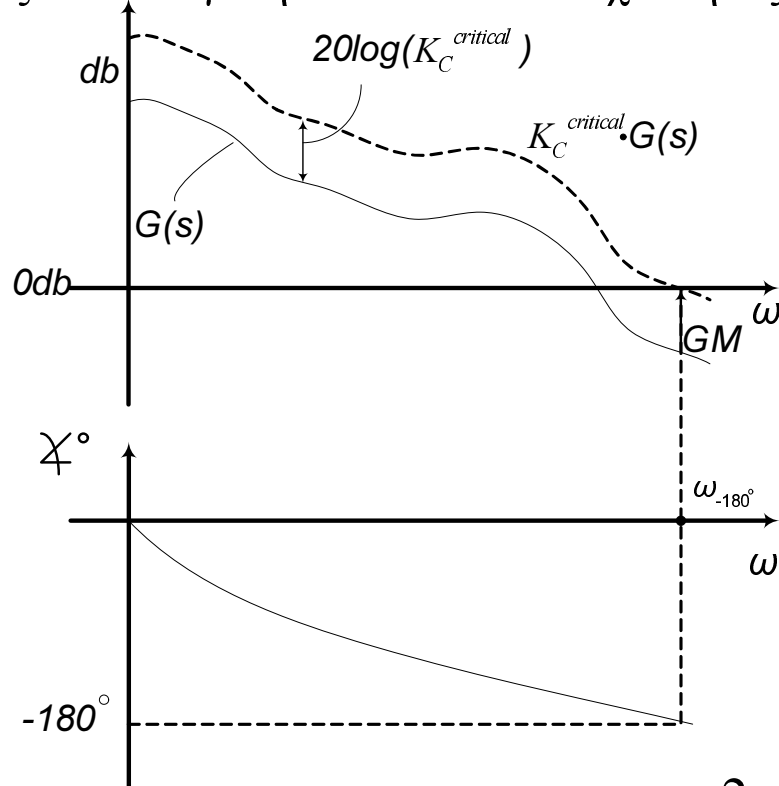


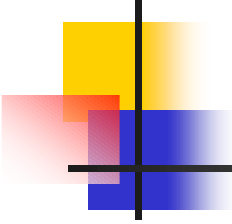
ΣΥΣΤΗΜΑΤΑ ΑΥΤΟΜΑΤΟΥ ΕΛΕΓΧΟΥ II

Συντονισμός PID-ελεγκτή από το πεδίο συχνότητας



$$\text{Από το Bode-διάγραμμα μέτρου } K_C^{critical} = 10^{\frac{GM}{20}} \quad p_u = \frac{2\pi}{\omega_{-180^\circ}}$$

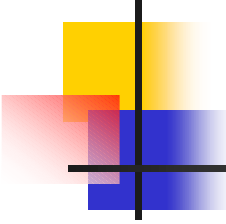
5η ΕΒΔΟΜΑΔΑ ΔΙΑΛΕΞΕΩΝ



ΣΥΣΤΗΜΑΤΑ ΑΥΤΟΜΑΤΟΥ ΕΛΕΓΧΟΥ II

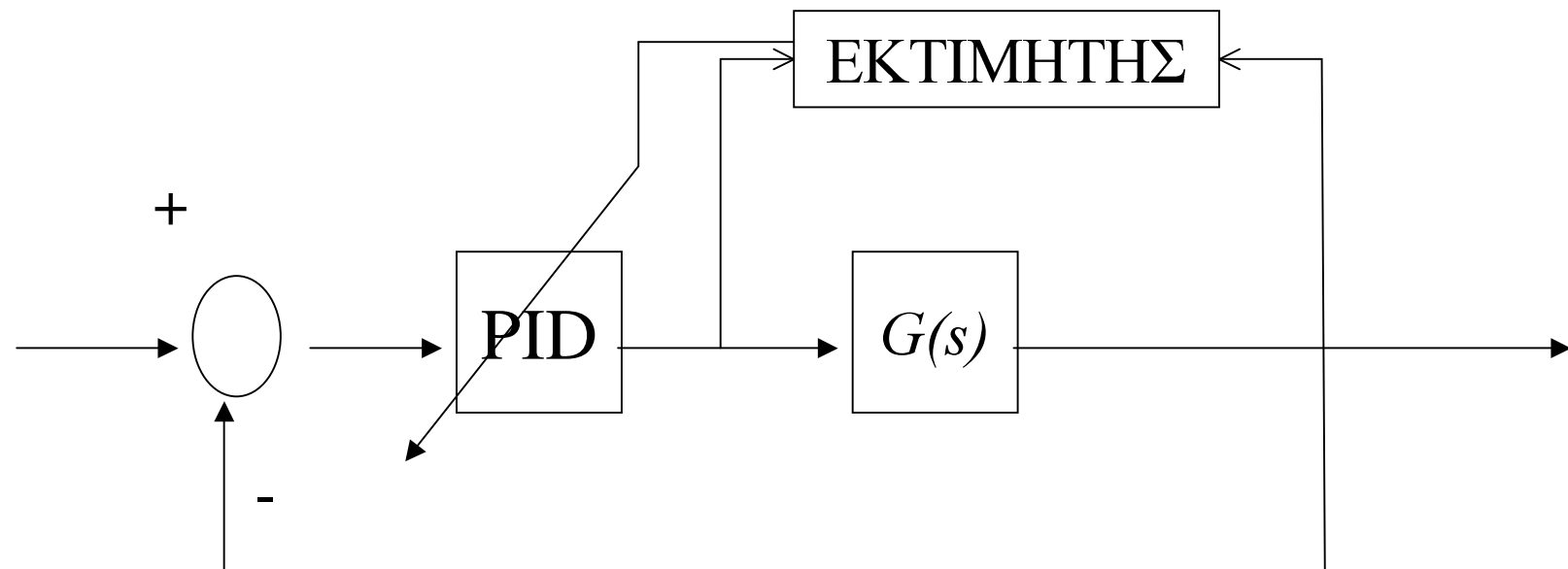
ΜΕΙΟΝΕΚΤΗΜΑΤΑ Z-N ΜΕΘΟΔΟΥ

- Για το συντονισμό των PID παραμέτρων απαιτείται η λειτουργία του κλειστού συστήματος σε συνθήκες “κρίσιμης ευστάθειας”.
- Η Z-N μέθοδος προτείνει όρια εκτός των οποίων βρίσκονται οι PID παράμετροι
- Για τον “on-line” συντονισμό των P-I-D παραμέτρων μπορούν να χρησιμοποιηθούν στοιχεία “ΠΡΟΣΑΡΜΟΣΤΙΚΟΥ ΕΛΕΓΧΟΥ”



ΣΥΣΤΗΜΑΤΑ ΑΥΤΟΜΑΤΟΥ ΕΛΕΓΧΟΥ II

ΜΕΙΟΝΕΚΤΗΜΑΤΑ Z-N ΜΕΘΟΔΟΥ



ΣΥΣΤΗΜΑΤΑ ΑΥΤΟΜΑΤΟΥ ΕΛΕΓΧΟΥ II

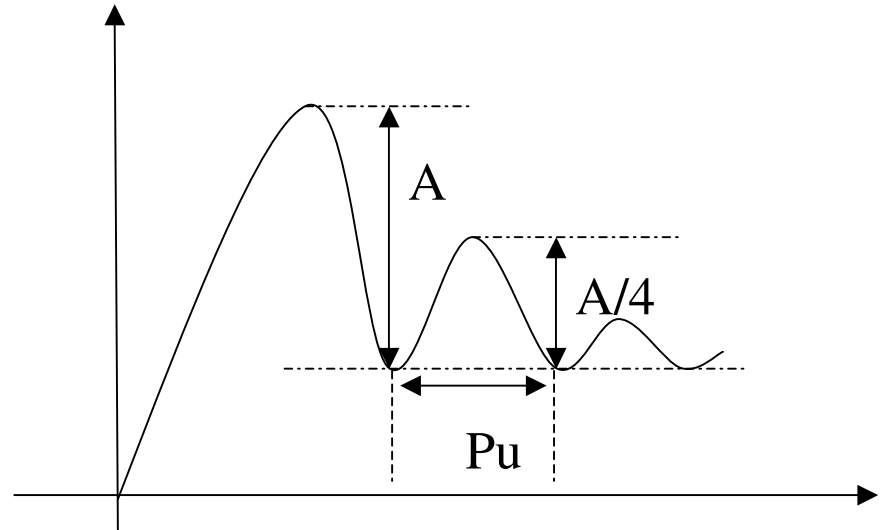
Συντονισμός PID παραμέτρων με την μέθοδο ενός “τέταρτου εύρους απόκρισης”

Ρύθμιση κέρδους $K_C = K_C^{1/4}$ (με $K_I = K_D = 0$) έτσι ώστε η απόκριση του κλειστού συστήματος σε βηματική είσοδο να είναι:

$$P: \quad K_C = K_C^{1/4}$$

$$PI: \quad K_C = K_C^{1/4}, T_I > p_u$$

$$PID: \quad K_C = K_C^{1/4}, T_I \geq \frac{p_u}{1.5}, T_D \geq \frac{p_u}{6}$$



ΣΥΣΤΗΜΑΤΑ ΑΥΤΟΜΑΤΟΥ ΕΛΕΓΧΟΥ II

ΥΛΟΠΟΙΗΣΗ PID ΕΛΕΓΚΤΩΝ

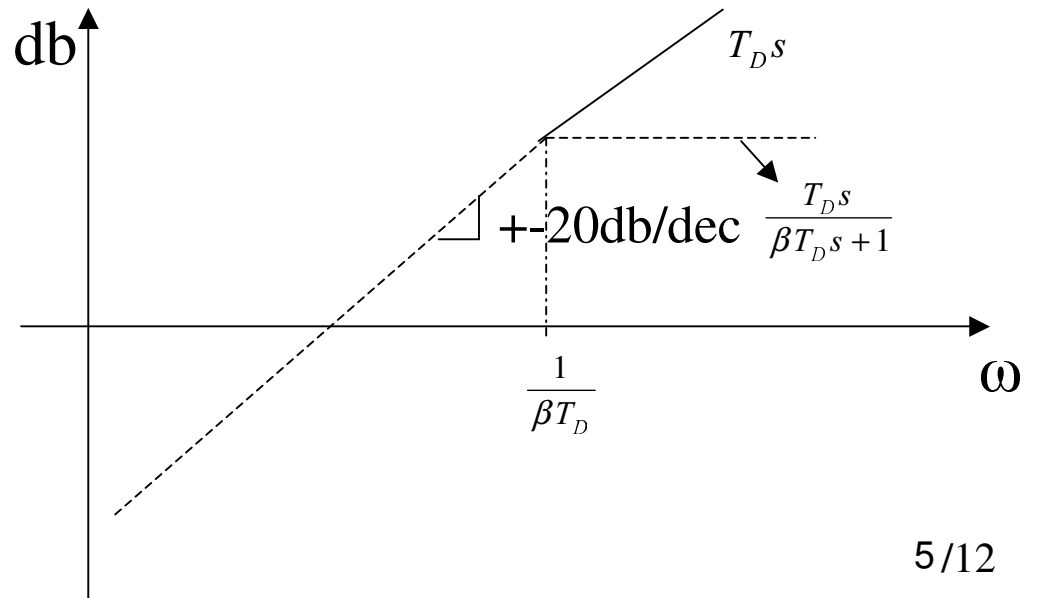
$$G_C(s) = \frac{K_P s + K_D s^2 + K_I}{s}$$

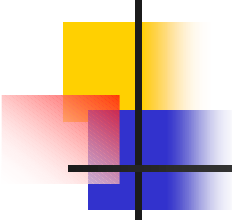
2-ΜΗΔΕΝΙΚΑ και 1-ΠΟΛΟΣ!!

ΑΛΛΑΓΗ ΣΤΟΝ ΤΡΟΠΟ ΥΛΟΠΟΙΗΣΗΣ ΤΟΥ D-OPOY

$$G_C(s) = K_C \left(1 + \frac{1}{T_I s} + T_D s \right) \approx K_C \left(1 + \frac{1}{T_I s} \cdot \frac{T_D s}{\beta T_D s + 1} \right)$$

όπου $0.01 \leq \beta \leq 0.1$





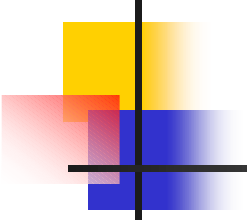
ΣΥΣΤΗΜΑΤΑ ΑΥΤΟΜΑΤΟΥ ΕΛΕΓΧΟΥ II

Βελτιστοποίησης PID-ελεγκτή

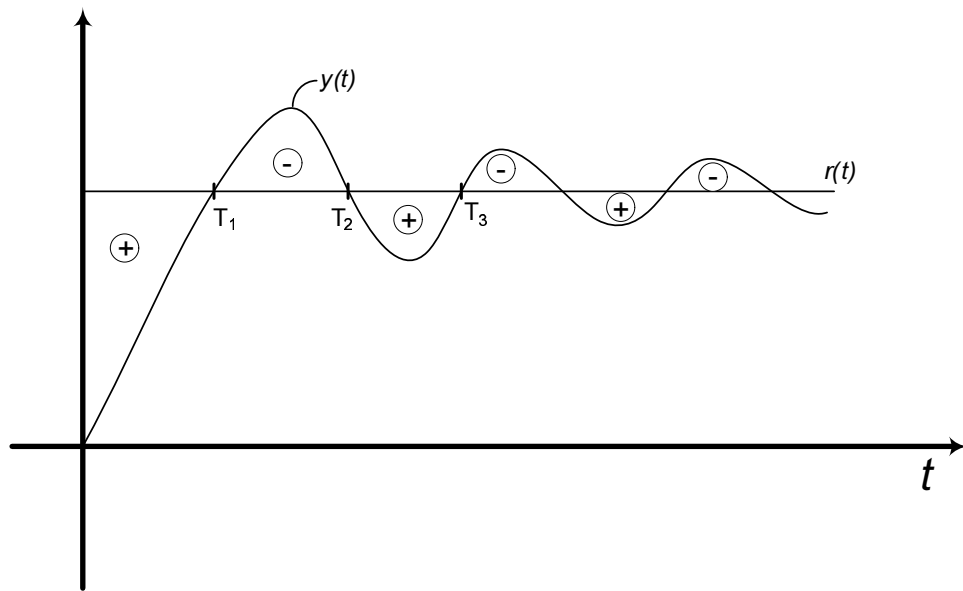
Η Z-N μέθοδος παρέχει όρια εντός των οποίων βρίσκονται οι I και D παράμετροι

Θέσπιση κριτηρίων για βελτιστοποιημένη επιλογή PID-παραμέτρων

$$\text{Υιοθέτηση Integral Error=} \quad \int_0^{\infty} e(t)dt \quad \rightarrow \min_{P,I,D} \int_0^{\infty} e(t)dt$$

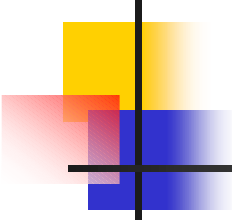


ΣΥΣΤΗΜΑΤΑ ΑΥΤΟΜΑΤΟΥ ΕΛΕΓΧΟΥ II



- Τίθεται θέμα με αποκρίσεις υποαποσβενυμένων συστημάτων, όπου προστίθενται τα εμβαδά $\int_0^{T_1} e(t) dt > 0, \quad \int_{T_1}^{T_2} e(t) dt < 0, \dots$

- Δεν παρέχεται εγγύηση ότι $\lim_{t \rightarrow \infty} e(t) = 0$

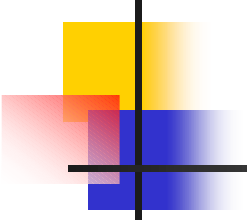


ΣΥΣΤΗΜΑΤΑ ΑΥΤΟΜΑΤΟΥ ΕΛΕΓΧΟΥ II

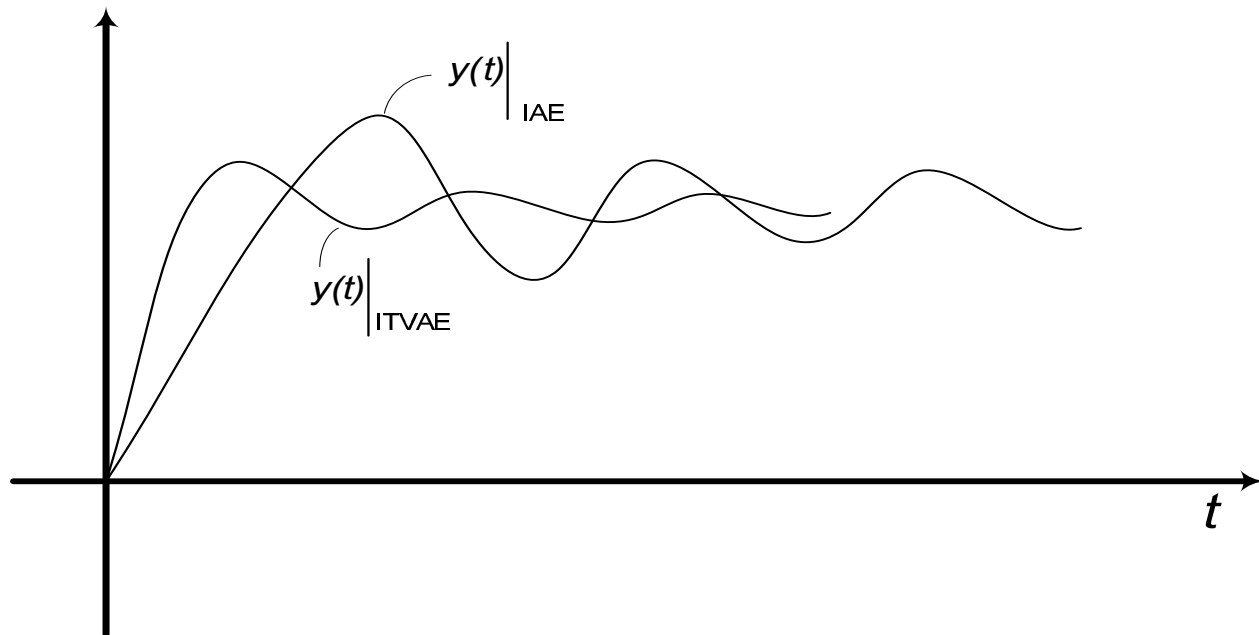
- Υιοθέτηση Integral Square Error = $\int_0^{\infty} e^2(t) dt \rightarrow \min_{P,I,D} \int_0^{\infty} e^2(t) dt$
- Υιοθέτηση Integral Absolute Error IAE = $\int_0^{\infty} |e(t)| dt \rightarrow \min_{P,I,D} \int_0^{\infty} |e(t)| dt$
- Υιοθέτηση Integral Time Varying AE ITV AE = $\int_0^{\infty} t |e(t)| dt \rightarrow \min_{P,I,D} \int_0^{\infty} t |e(t)| dt$

Στο κόστος προσμετράται με ιδιαίτερη βαρύτητα το σφάλμα σε μεταγενέστερες χρονικές στιγμές $t |e(t)|$ (σε σχέση με το IAE) η απόκριση του συστήματος

$y(t) \Big|_{ITVAE} - r(t) < y(t) \Big|_{IAE} - r(t)$
συγκλίνει ταχύτερα στην μόνιμη κατάσταση σε σχέση με το IAE



ΣΥΣΤΗΜΑΤΑ ΑΥΤΟΜΑΤΟΥ ΕΛΕΓΧΟΥ II



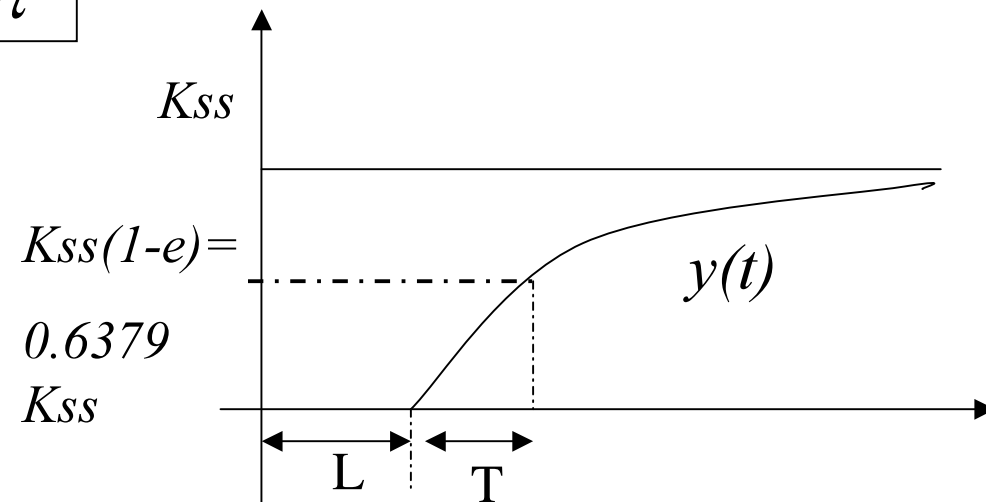
5η ΕΒΔΟΜΑΔΑ ΔΙΑΛΕΞΕΩΝ

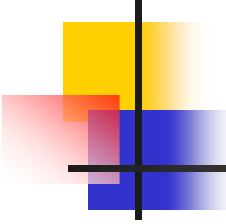
ΣΥΣΤΗΜΑΤΑ ΑΥΤΟΜΑΤΟΥ ΕΛΕΓΧΟΥ II

ΥΛΟΠΟΙΗΣΗ PID ΕΛΕΓΚΤΩΝ

Για συστήματα που συναντώνται σε πετροχημικές διεργασίες η απόκριση σε βηματική διέγερση έχει τη μορφή:

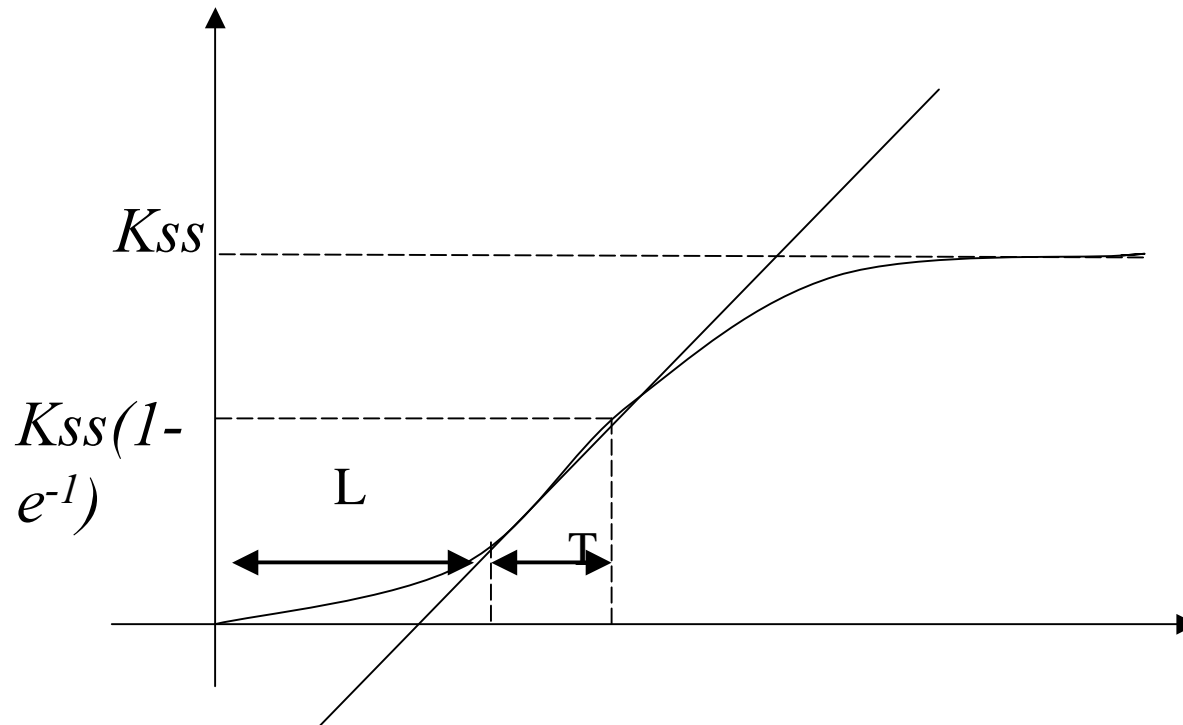
$$r(t) = 1(t) \rightarrow \boxed{e^{-sL} \frac{K_{ss}}{1 + s\tau}} \rightarrow y(t) = K_{ss}(1 - e^{-(t-L)/T})$$

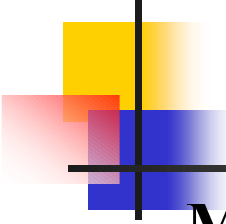




ΣΥΣΤΗΜΑΤΑ ΑΥΤΟΜΑΤΟΥ ΕΛΕΓΧΟΥ II

ΥΛΟΠΟΙΗΣΗ PID ΕΛΕΓΚΤΩΝ





ΣΥΣΤΗΜΑΤΑ ΑΥΤΟΜΑΤΟΥ ΕΛΕΓΧΟΥ II

Μέθοδος Lopez-Murril (1967) για Υπολογισμό PID

Παραμέτρων

$$K^* \left(1 + \frac{1}{T_I^* s} + T_D^* s \right)$$

	ISE	IAE	ITAE
α	1,495	1,435	1,375
β	-0,959	-0,921	-0,947
γ	1,101	0,878	-0,842
δ	0,771	0,749	0,738
ε	0,560	0,482	0,381
ζ	1,006	1,137	0,995

$$K^* = \frac{\alpha}{K_{ss}} \rho^\beta$$

$$\rho = \frac{L}{T}$$

$$T_I^* = \frac{T}{\gamma} \rho^\delta$$

$$T_D^* = \varepsilon T_\rho J$$